



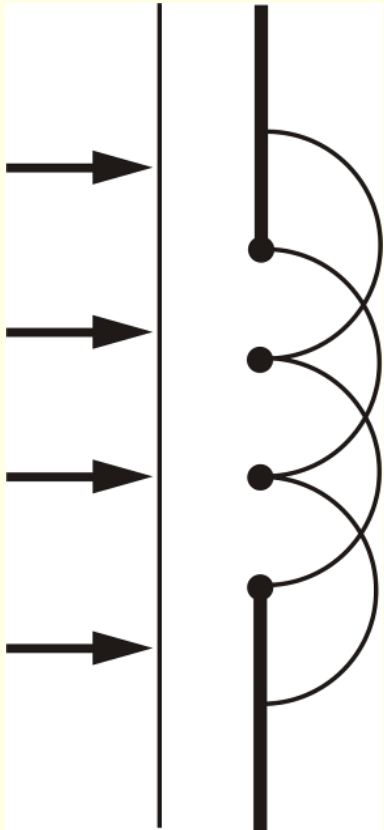
Оптика. Дифракция света

Лекция 4


***Постникова Екатерина Ивановна,
доцент кафедры экспериментальной физики***

Дифракция света

Дифракция – отклонение распространения волн от законов геометрической оптики вблизи препятствий (огибание волнами препятствий).




Дифракция объясняется с помощью **принципа Гюйгенса**: каждая точка, до которой доходит волна, служит *центром вторичных волн*, а огибающая этих волн задает положение волнового фронта в следующий момент времени, т.е. волна заходит в область геометрической тени.



Явление дифракции объяснённое с помощью *принципа Гюйгенса*, не дает никакой информации об амплитуде (интенсивности) волн, распространяющихся в различных направлениях.

Френель дополнил **принцип Гюйгенса** представлением об *интерференции вторичных волн*. Учет фаз и амплитуд вторичных волн позволяет определить амплитуду результирующей волны во всех точках пространства.

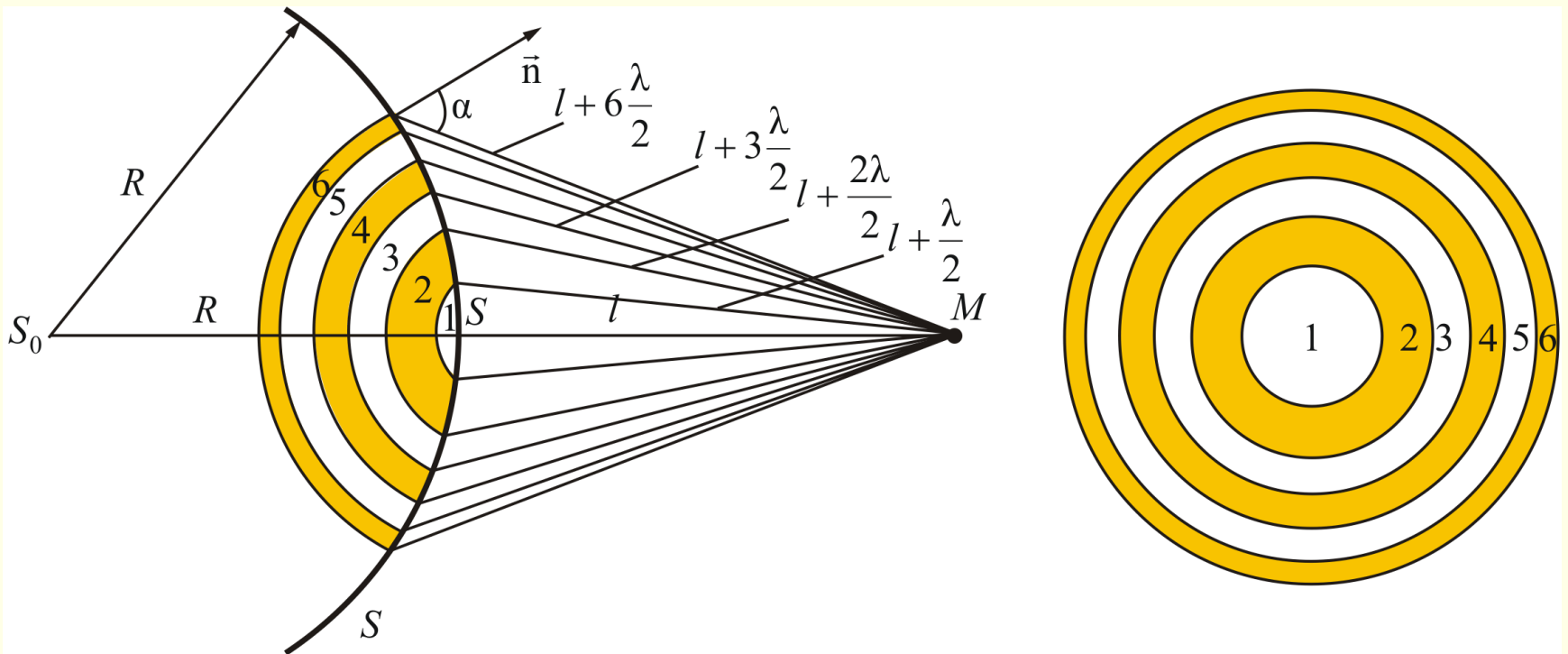


Принцип Гюйгенса-Френеля: световая волна, возбуждаемая источником света, может быть представлена как результат суперпозиции когерентных вторичных волн, «излучаемых» фиктивными источниками (бесконечно малыми элементами любой замкнутой поверхности, охватывающей источник света).

Если эта поверхность – волновая поверхность, то все фиктивные источники действуют синфазно. Следовательно, волны, распространяющиеся от источника света, являются результатом интерференции всех когерентных вторичных волн, т.е. учет амплитуд и фаз вторичных волн позволяет найти амплитуду результирующей волны в любой точке пространства. 4

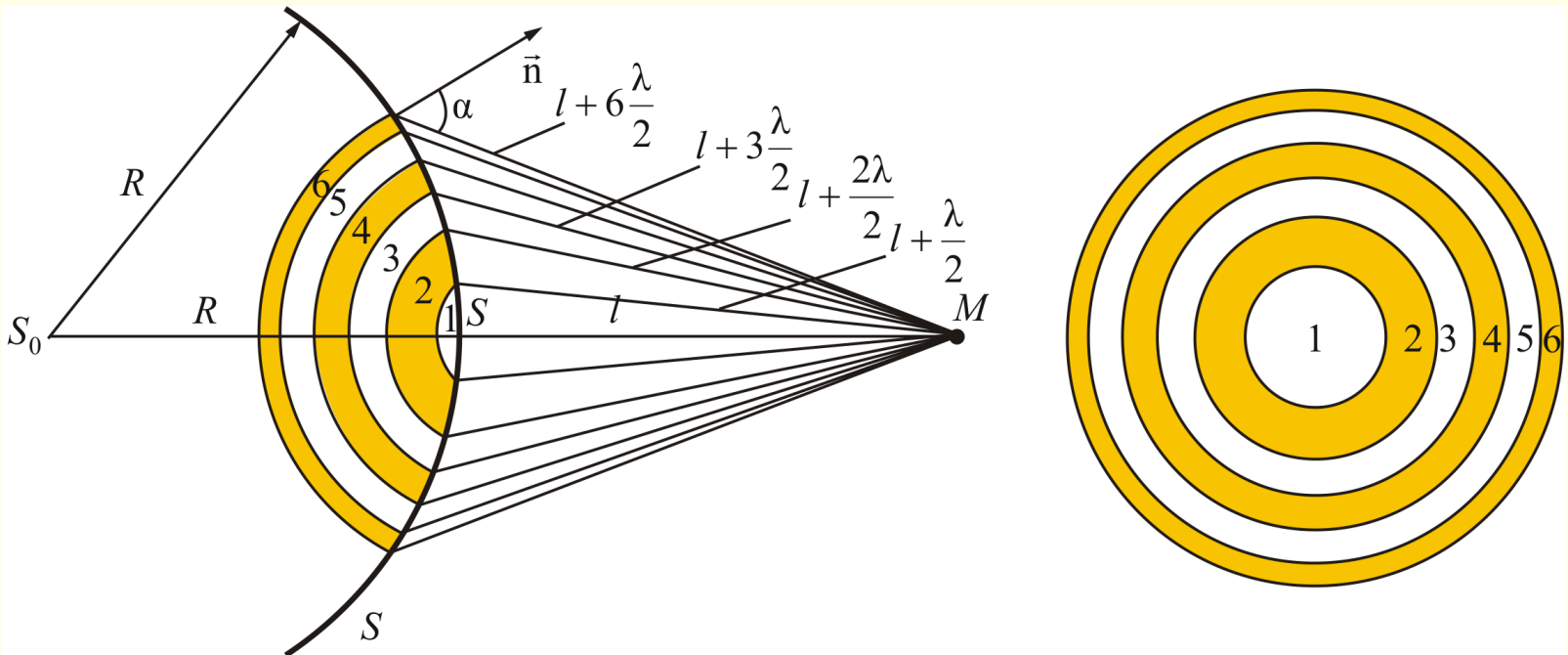
Метод зон Френеля

Зоны Френеля — кольцевые зоны на волновой поверхности, расстояния от краев которых до точки M , в которой определяется амплитуда световой волны от точечного источника S , отличается на $\frac{\lambda}{2}$.



Для соседних зон результирующее колебание, создаваемое каждой из зон, отличается по фазе на π . Следовательно, амплитуда результирующего светового колебания (от всех зон) в точке M :

$$A = A_1 - A_2 + A_3 - A_4 + \dots$$

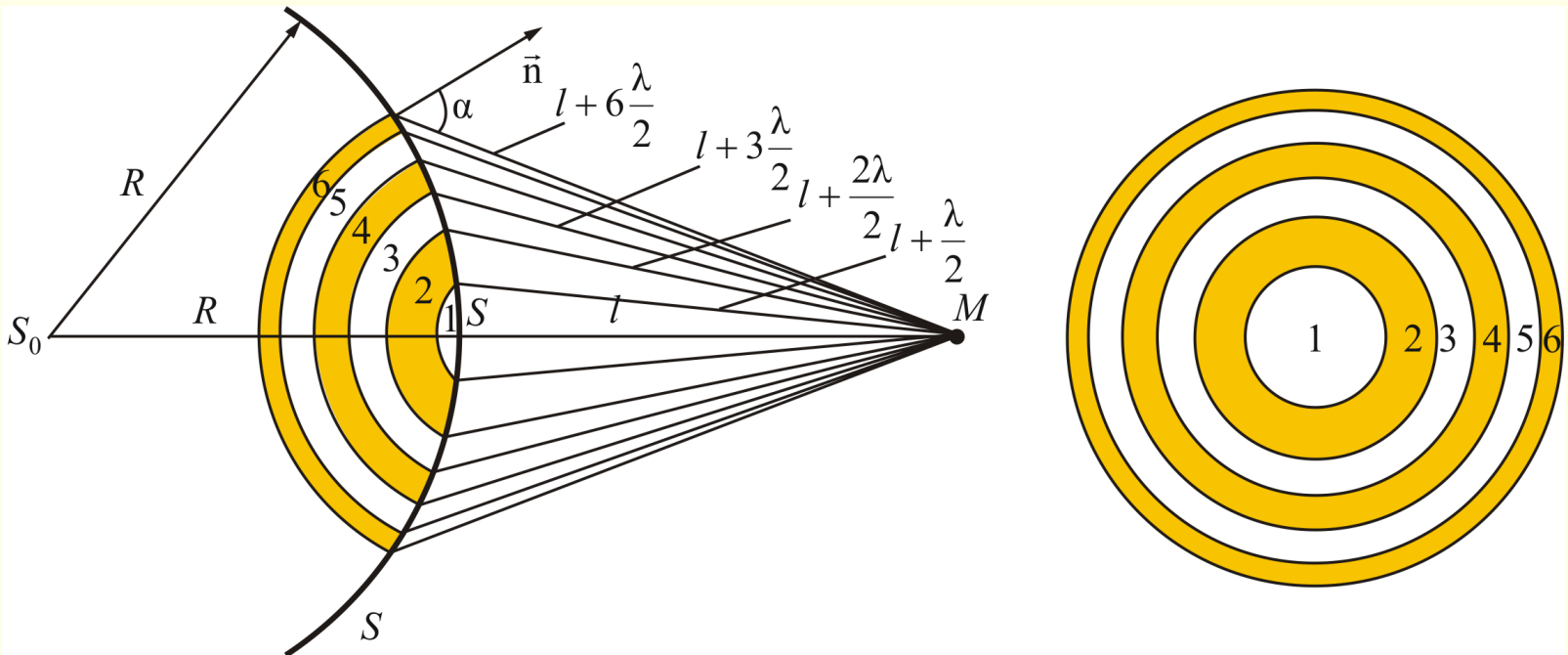


С ростом порядкового номера зоны (m), интенсивность излучения в направлении точки M уменьшается:

$$A_1 > A_2 > A_3 > A_4 \dots$$

Т.к. количество зон велико, то амплитуду колебаний от m зоны можно записать как

$$A_m = \frac{A_{m-1} + A_{m+1}}{2}.$$



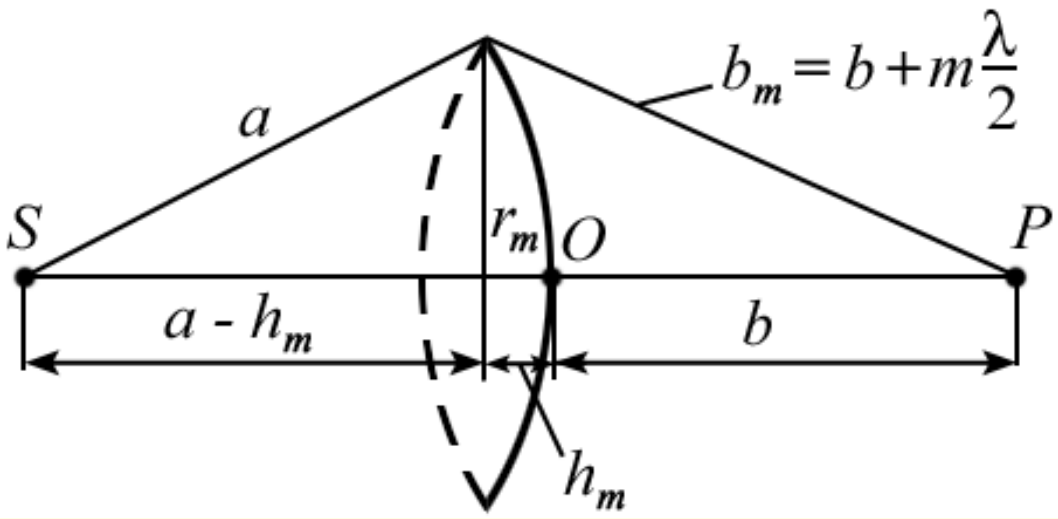
Получаем

$$A = \frac{A_1}{2} + \left(\underbrace{\frac{A_1}{2} - A_2 + \frac{A_3}{2}}_{=0, \quad \frac{A_1}{2} + \frac{A_3}{2} = A_2} \right) + \left(\frac{A_3}{2} - A_4 + \frac{A_5}{2} \right) + \dots = \frac{A_1}{2},$$

т.е. амплитуда результирующего колебания в произвольной точке M определяется действием только половины центральной зоны Френеля. Действие всей волновой поверхности сводится к действию её малого участка меньшего центральной зоны.

При конечном числе зон: $A = \frac{A_1}{2} \pm \frac{A_m}{2}$.

Если расстояние a до источника света S и расстояние b до точки наблюдения P много больше размеров зон Френеля, то (для небольших m):



$$r_m = \sqrt{\frac{ab}{a+b} m \lambda}$$

- радиус внешней границы m -й зоны

Площадь m -й зоны:

$$\Delta S_m = \frac{\pi ab}{a+b} \lambda$$

- не зависит от m , т.е. **при небольших m площади зон Френеля примерно одинаковы.**

Для первой зоны $m = 1$ легко вычислить r_1 . Он оказывается малым.

$$a = b = 10 \text{ см} , \quad \lambda = 0,16 \text{ мкм} , \Rightarrow \quad r_1 = 0,16 \text{ нм} .$$

Т.е. с учетом $A = \frac{A_1}{2}$ можно сказать, что

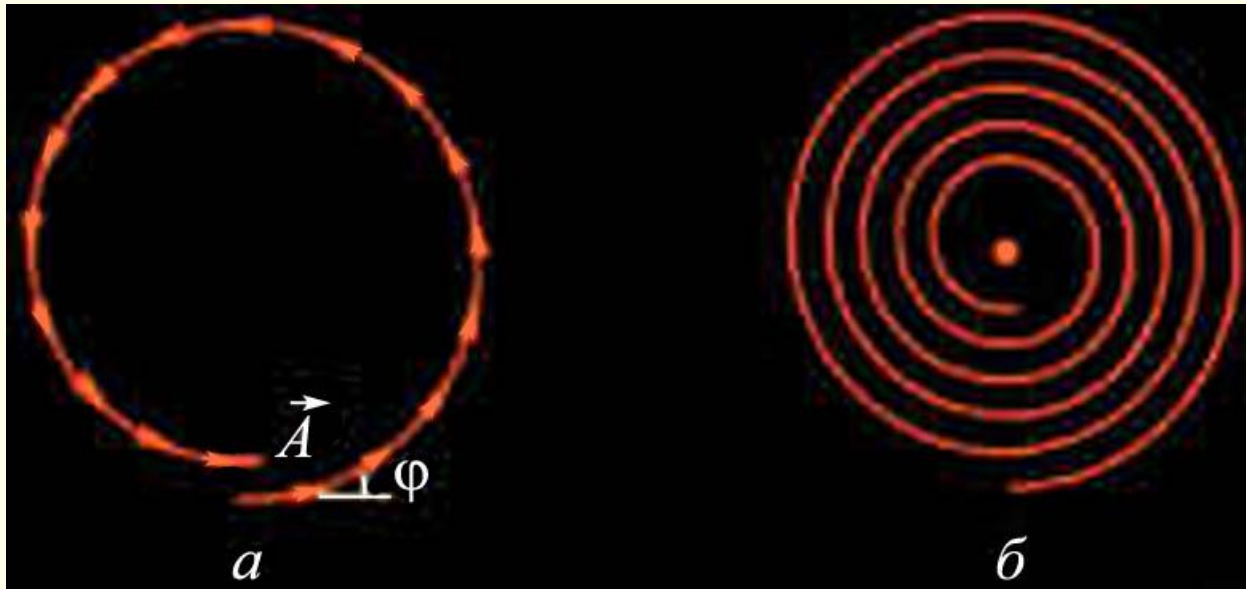
распространение света от S к P происходит так, как будто световой поток амплитудой $\frac{A_1}{2}$

распространяется вдоль SM внутри узкого канала, другими словами, *прямолинейно*.

Векторная диаграмма.

Каждая зона Френеля разбивается на кольцевые подзоны. Колебание, создаваемое в точке наблюдения P каждой из подзон, изображается вектором A , длина которого равна амплитуде колебаний, а угол φ дает начальную фазу колебания.

- Амплитуда колебаний медленно убывает при переходе от подзоны к подзоне.
- Каждое последующее колебание отстает по фазе от предыдущего на одну и ту же величину.

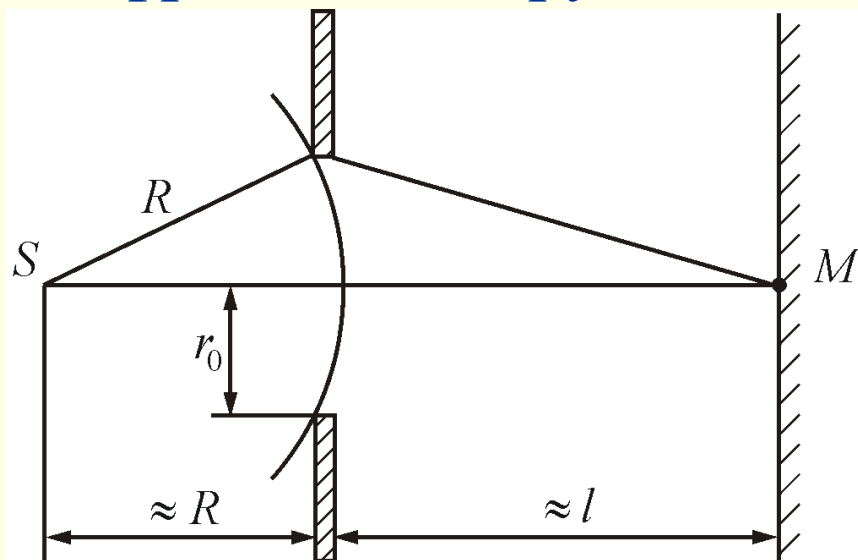


a – векторная диаграмма, полученная при сложении таких векторов;
 b – вид векторной диаграммы (спираль, вьющаяся вокруг фокуса) при стремлении ширины подзон к нулю.

Дифракция Френеля

(дифракция в расходящихся лучах)

✓ Дифракция на круглом отверстии



Открыто четное число зон

Открыто нечетное число зон

Амплитуда результирующего колебания в точке М зависит от числа зон Френеля m , открываемых отверстием

$$A = \frac{A_1}{2} \pm \frac{A_m}{2},$$

+ при нечетном числе m ,
- при четном числе m .

Открыта 1 зона: $m = 1$, если на пути света поставить экран с отверстием

$$r = r_1 = \sqrt{\frac{ab}{a+b} \lambda}$$



амплитуда в точке M будет $A = A_1$, т.е. в 2 раза больше, чем без экрана, т.к. влияние других зон Френеля устраняется экраном. Интенсивность света больше в 4 раза.

2 зоны: $A = A_1 - A_2 \approx 0$.

Нечетное число зон m : в центре светлое пятно.

Четное число зон m : в центре темное пятно.

✓ Дифракция на диске, закрывающем m зон Френеля.

Амплитуда результирующего колебания $A = \frac{A_{m+1}}{2}$.

В центре экрана наблюдается интерференционный максимум равный $\frac{1}{2}$ амплитуды первой открытой зоны Френеля.

«Пятно Пуассона»





Дифракция Фраунгофера

***(дифракция плоских световых волн,
дифракция в параллельных лучах)***

Дифракция света на одной щели

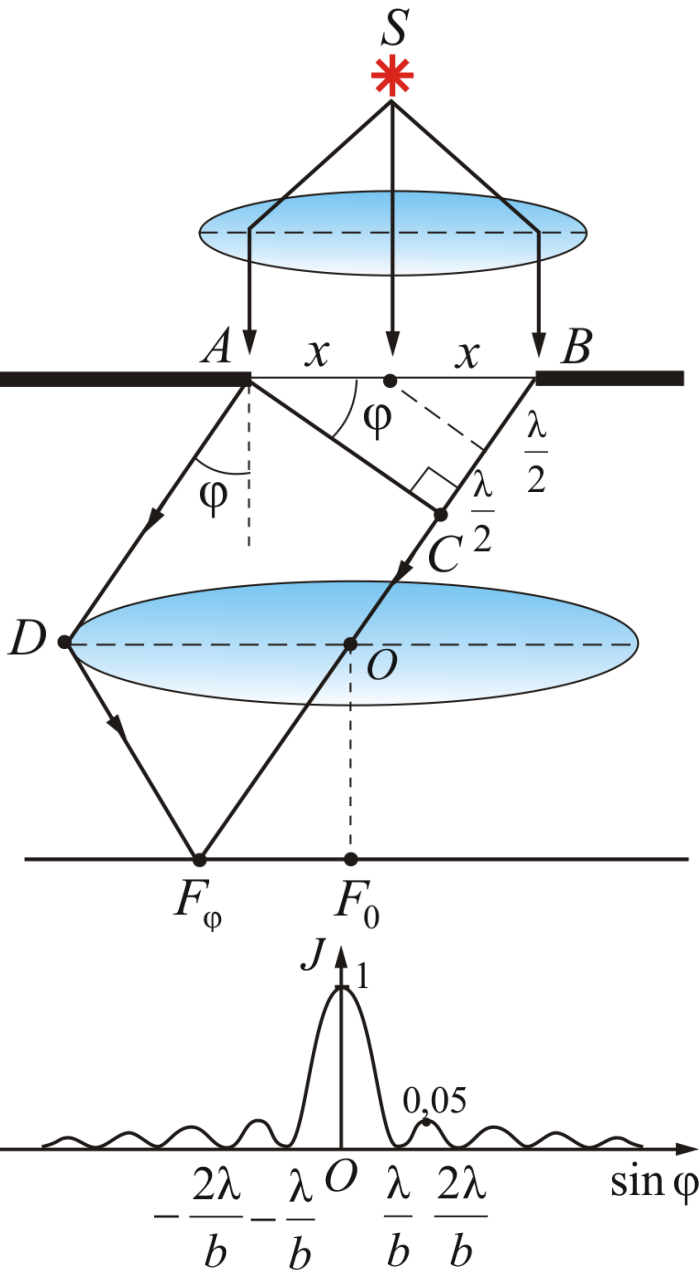
Ширина щели $AB = b$

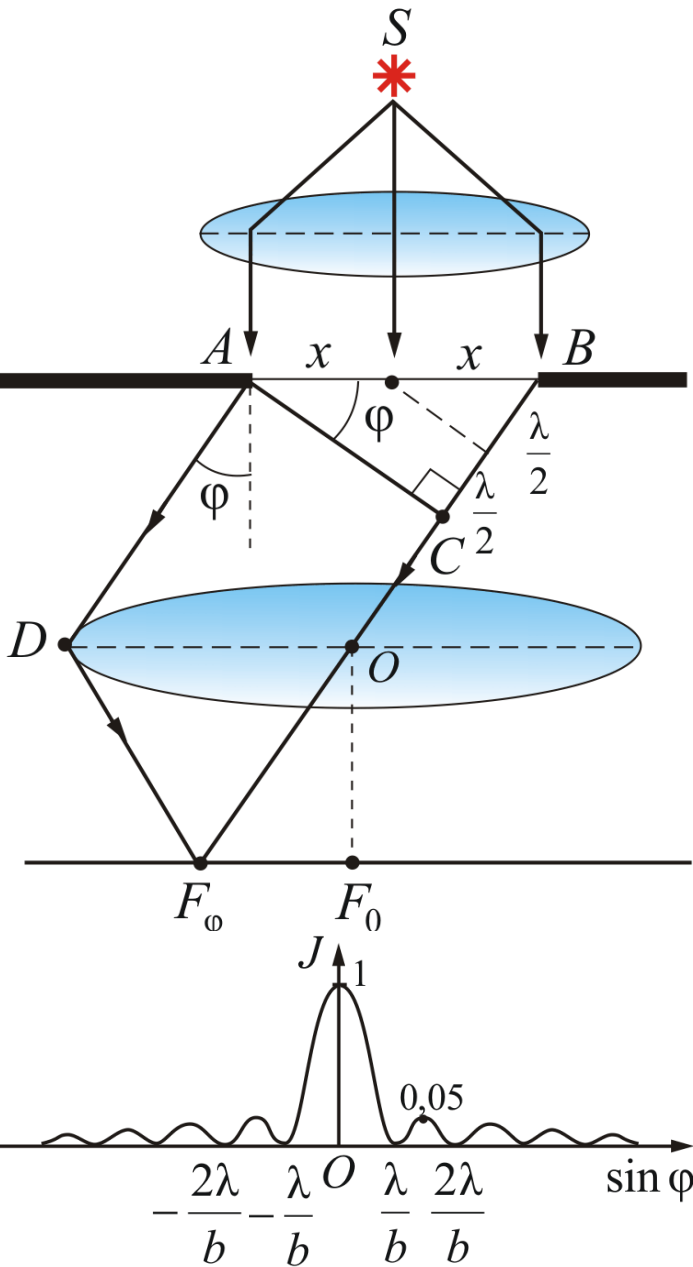
$$b \sin \varphi = \pm 2m \frac{\lambda}{2}$$

– дифракционный минимум

Тогда
$$\sin \varphi = \frac{m \lambda}{b}$$

Из этой формулы видно, что с увеличением ширины щели b положения минимумов сдвигаются к центру, центральный максимум становится резче.





$$b \sin \varphi = \pm (2m + 1) \frac{\lambda}{2}$$

– дифракционный максимум

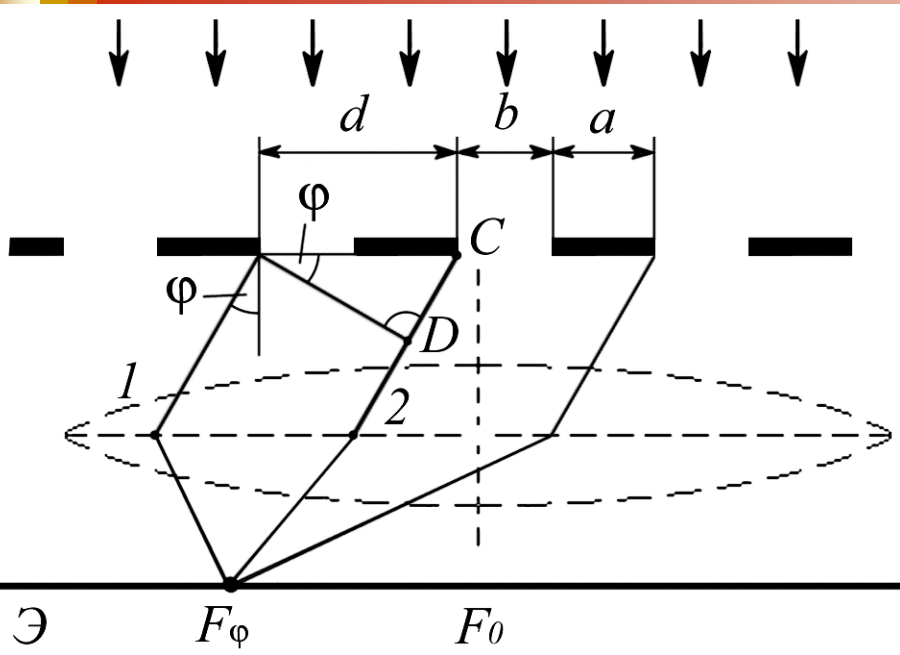
Интенсивность света $\sim A^2$

Из рис. видно, что центральный максимум превосходит по интенсивности все остальные

Дифракция на дифракционной решетке.

Одномерная дифракционная решетка — система параллельных щелей равной ширины, лежащих в одной плоскости и разделенных равными по ширине непрозрачными промежутками.

Дифракционная картина на решетке определяется как результат взаимной интерференции волн, идущих от всех щелей, т.е. осуществляется *многолучевая интерференция*.



b – ширина щели решетки;
 a – расстояние между щелями;

$$a + b = d$$

постоянная решетки;

Для двух щелей

$$\Delta = (a + b) \sin \varphi = d \sin \varphi .$$

Условие главного минимума:

$$\Delta = b \sin \varphi = \pm m \lambda , \quad m = 0, 1, 2 \dots$$

- дифракционный минимум.

φ – угол дифракции;

m – порядок дифракционного максимума

Вследствие взаимной интерференции световых лучей от 2-х и т.д. щелей в некоторых направлениях они будут гасить друг друга. Следовательно, возникает

условие дополнительных минимумов:

$$\Delta = d \sin \varphi = \pm (2m + 1) \frac{\lambda}{2}, \quad m = 0, 1, 2 \dots$$

- интерференционный минимум.

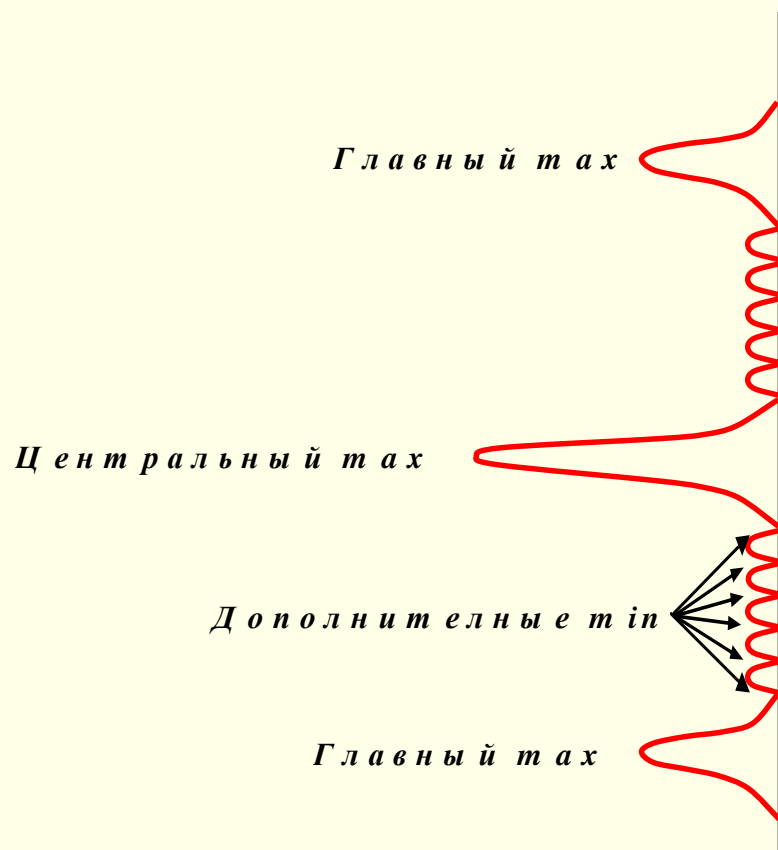
В других направлениях действие одной щели усиливает действие другой. Следовательно, возникает

условие главных максимумов:

$$\Delta = d \sin \varphi = \pm 2m \frac{\lambda}{2}, \quad m = 0, 1, 2 \dots$$

- интерференционный максимум.

Для N щелей.



Условия дифракции:

Главный минимум

$$\Delta = b \sin \varphi = \pm m \lambda, \quad m = 0, 1, 2 \dots$$

Главный максимум

$$\Delta = d \sin \varphi = \pm m \lambda, \quad m = 0, 1, 2 \dots$$

Дополнительные минимумы

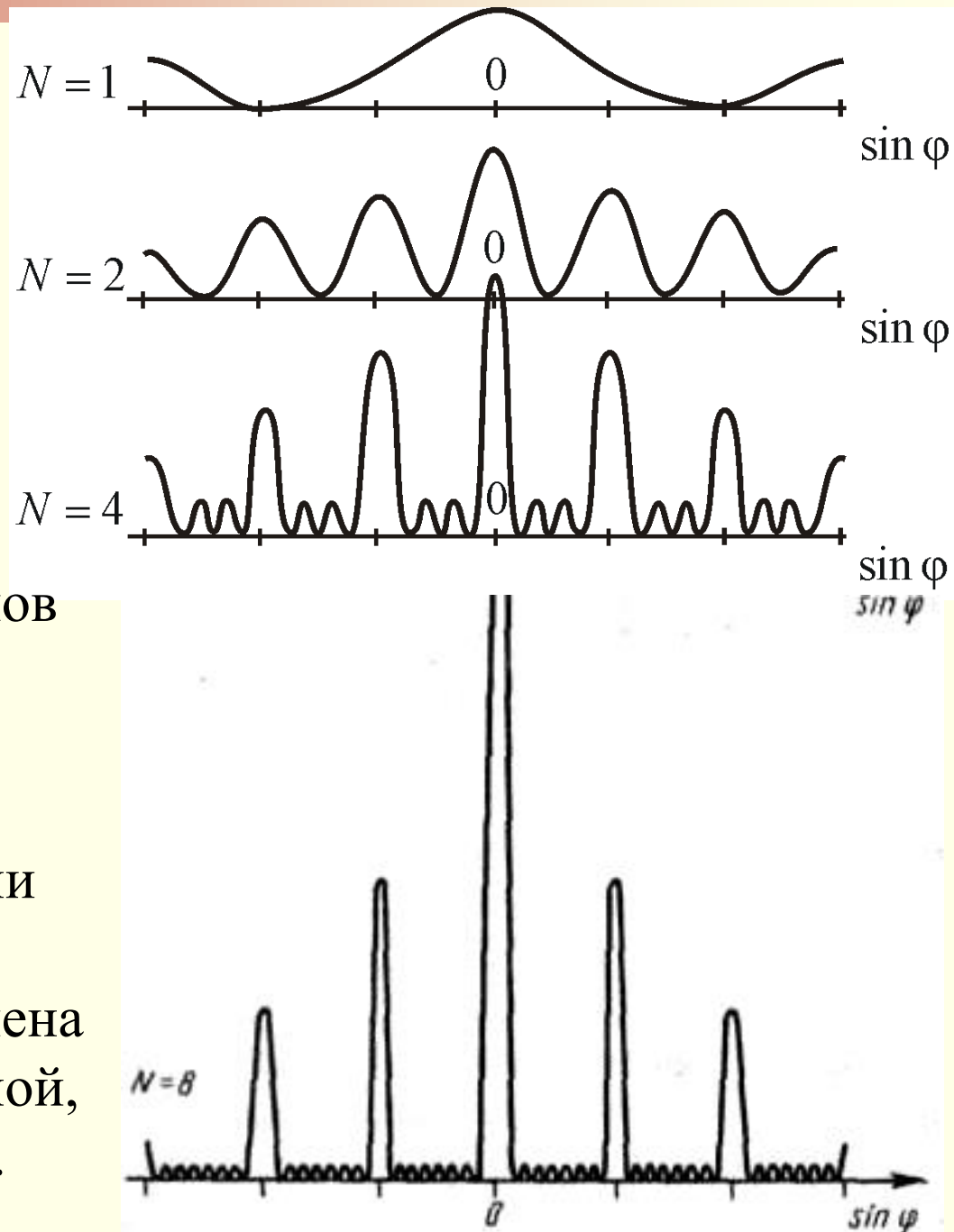
$$\Delta = d \sin \varphi = \pm \frac{2 m' \lambda}{N} = \pm \frac{m' \lambda}{N}, \quad m = 0, 1, 2 \dots$$

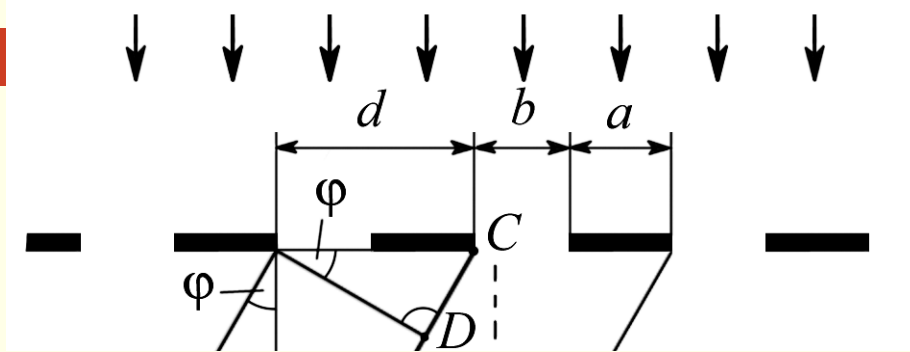
$$m' = 1, 2 \dots \text{ кроме } 0, N, 2N \dots$$

Количество щелей определяет световой поток через решетку:

Чем больше щелей N , тем большее количество световой энергии пройдет через решетку, тем больше минимумов образуется между соседними главными максимумами, тем, следовательно, более интенсивными и более острыми будут максимумы.

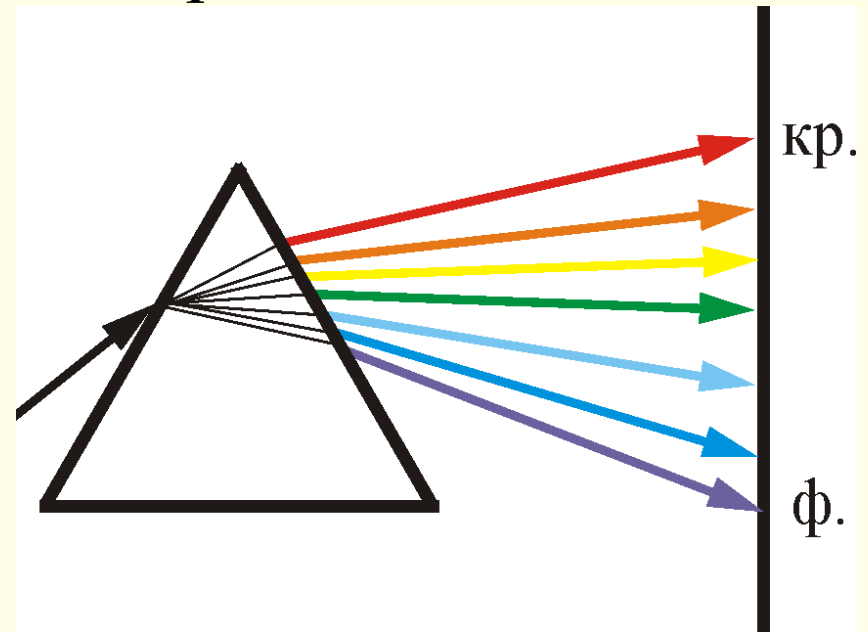
На рис. качественно сопоставлена дифракционная картина от одной, двух, четырех и восьми щелей.





$$\sin \varphi = \frac{m \lambda}{b}$$

Дифракционная решетка разлагает белый свет на составляющие, причем свет с большей длиной волны (красный) отклоняется на больший угол, в отличие от призмы, где все происходит наоборот:



Дифракция на пространственной решетке.

Дифракция рентгеновских лучей

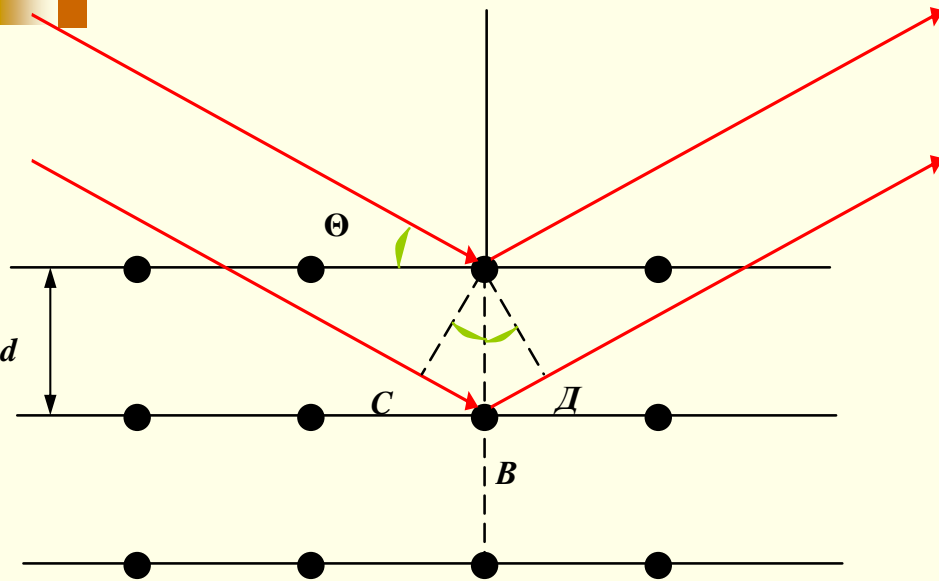
Пространственной (трехмерной) **дифракционной** **решеткой** называется такая оптически неоднородная среда, неоднородности которой периодически повторяются при изменении всех трех пространственных координат.

Примером пространственной дифракционной решетки может служить **кристаллическая решетка твердого тела**. Частицы, находящиеся в узлах этой решетки, играют роль упорядоченно расположенных центров, когерентно рассеивающих падающий на них свет.

Для наблюдения дифракционной картины необходимо, чтобы постоянная решетки была бы того же порядка, что и длина волны λ падающего на них излучения.

Постоянная кристаллической решетки твердых тел много меньше λ видимого света ($d \sim 5 \cdot 10^{-10}$ м, $\lambda_{\text{видимого света}} \sim 5 \cdot 10^{-7}$ м). Следовательно, для видимого света кристаллы являются *оптически однородной средой*, т.е. свет распространяется в них «не замечая» её неоднородности и не испытывает дифракции.

В то же время для рентгеновских лучей кристаллы представляют естественные дифракционные решетки. В кристаллах происходит интерференция рентгеновского излучения, зеркально отражающегося от системы параллельных плоскостей, которые проходят через узлы кристаллической решетки.



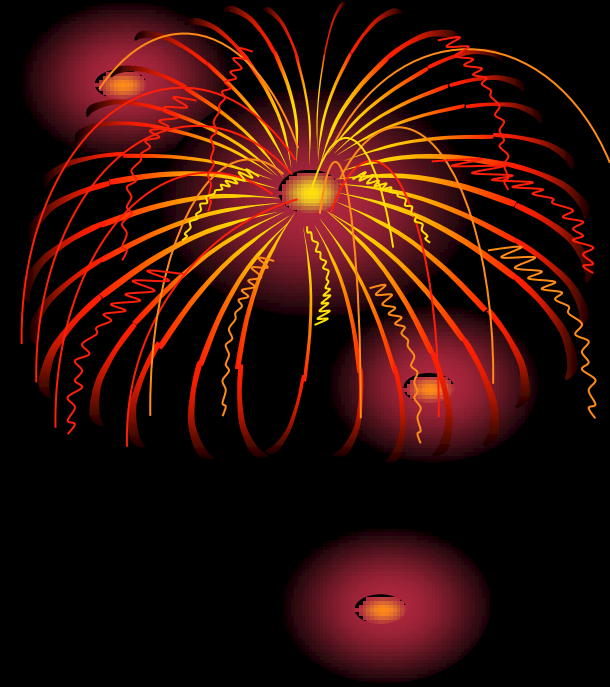
Разность хода лучей, отражающихся от двух соседних кристаллографических плоскостей

$$\Delta = CB + BD = 2d \sin \Theta.$$

Максимум интенсивности наблюдается в направлениях удовлетворяющих условию дифракционных максимумов

$$2d \sin \Theta = m \lambda$$

– формула Вульфа-Брэггов, $m = 1, 2, \dots$ – порядок дифракционного максимума.



Конец лекции